

Rozwiązanie:

Punktem wyjściowym tych zadań są z jednej strony równania fizyczne a z drugiej relacje łączące wielkości globalne (moment zginający M z krzywizną pręta κ).

a) W **zadaniu liniowo sprężystym** zachodzą warunki

$$\sigma_{11} = E\varepsilon_{11}, \quad \varepsilon_{11} = \kappa x_3, \quad \kappa = \frac{M}{EJ_2}, \quad J_2 = \int_F (x_3)^2 dF$$

stąd rozkład naprężeń w przekroju pręta ma postać (rys. 1.13b)

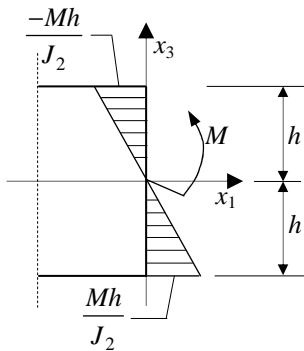
$$\sigma_{11} = E\kappa x_3 = \frac{EM}{EJ_2} x_3 \rightarrow \sigma_{11} = \frac{Mx_3}{J_2}$$

b) W **nieliniowo sprężystym przypadku** otrzymamy

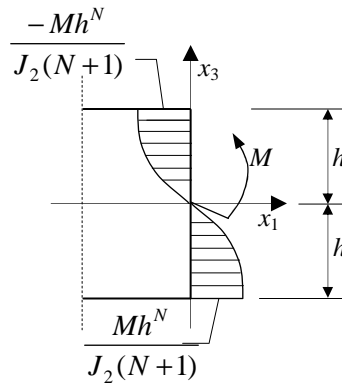
$$\sigma_{11} = A(\varepsilon_{11})^N, \quad \varepsilon_{11} = \kappa x_3, \quad \kappa = \left(\frac{M}{AJ_2(N+1)} \right)^{\frac{1}{N}}, \quad J_2(N+1) = \int_F (x_3)^{N+1} dF$$

stąd rozkład naprężeń w przekroju pręta ma postać (rys. 1.13c)

$$\sigma_{11} = A(\kappa x_3)^N = \frac{AM}{AJ_2(N+1)} (x_3)^N \rightarrow \sigma_{11} = \frac{M(x_3)^N}{J_2(N+1)}$$



Rys. 1.13b



Rys. 1.13c

c) W **zadaniu liniowo lepkosprężystym** będzie

$$\sigma_{11} = E * d\varepsilon_{11}, \quad \varepsilon_{11} = \kappa x_3, \quad J_2 E * d\kappa = M$$

stąd rozkład naprężeń w przekroju pręta ma postać

$$\sigma_{11} = E * d(\kappa x_3) = \frac{M x_3 E}{J_2} * E^{-1} \rightarrow \sigma_{11} = \frac{M}{J_2} x_3$$

d) W **zadaniu nieliniowo lepkosprężystym** zachodzi

$$\sigma_{11} = \varepsilon_{11}^N * dA, \quad \varepsilon_{11} = \kappa x_3, \quad M = J_2 (N+1) \kappa^N * dA$$

stąd rozkład naprężeń w przekroju pręta ma postać

$$\sigma_{11} = x_3^N \kappa^N * dA = x_3^N \frac{M}{J_2 (N+1)} dA^{-1} * dA \rightarrow \sigma_{11} = \frac{M (x_3)^N}{J_2 (N+1)}$$

Ze wzorów powyższych wynika podobieństwo rozkładów naprężeń w zadaniach sprężystych i lepkosprężystych. Wyznamy jeszcze bezwymiarowy stosunek naprężeń wywołanych tym samym momentem w zadaniach liniowych i nieliniowych

$$\frac{\sigma_{11}}{\sigma_{11}^N} = \frac{M x_3}{J_2} \cdot \frac{J_2 (N+1)}{M x_3^N} = \frac{J_2 (N+1)}{J_2} x_3^{(1-N)}$$

e) Dla **przyrostów** naprężeń $\Delta\sigma$, odkształceń $\Delta\varepsilon$, krzywizny $\Delta\kappa$ i momentów ΔM zachodzą związki

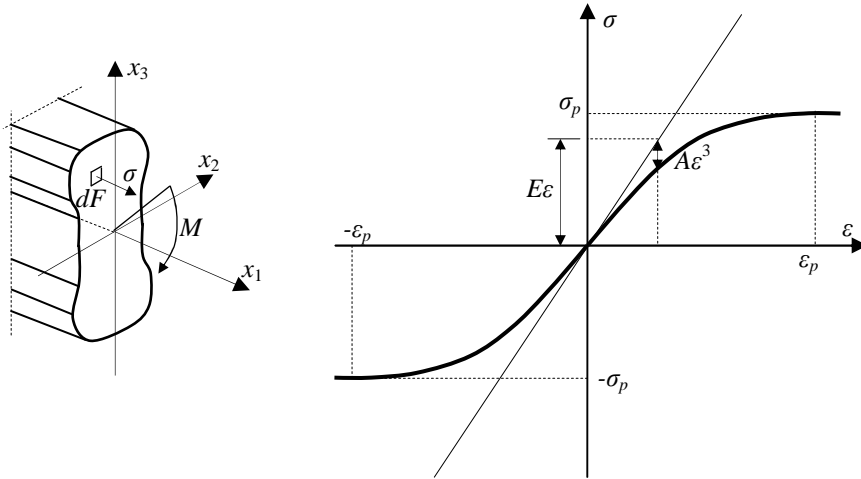
$$\Delta\sigma = E(\varepsilon)\Delta\varepsilon, \quad \Delta\varepsilon = \Delta\kappa x_3, \quad \Delta\kappa = \frac{\Delta M}{J_2 E(\varepsilon)}$$

stąd rozkład przyrostów naprężeń w przekroju pręta ma postać

$$\Delta\sigma_{11} = E(\varepsilon)\Delta\kappa x_3 = \frac{E(\varepsilon)\Delta M}{E(\varepsilon)J_2} x_3 \rightarrow \Delta\sigma_{11} = \frac{\Delta M x_3}{J_2}$$

ZADANIE 1.14.

Należy wyznaczyć przebiegi naprężeń normalnych w przekroju zginanego pręta o dwóch osiach symetrii. Pręt wykonano z materiału nieliniowo sprężystego opisanego równaniem fizycznym $\sigma = E\varepsilon - A\varepsilon^3$



Rys. 1.14

Rozwiązanie:

W pierwszej kolejności wyznaczmy stałą materiałową A z warunku, aby styczna do wykresu $(\varepsilon - \sigma)$ w punkcie $(\sigma_p, \varepsilon_p)$ była pozioma

$$\left(\frac{d\sigma}{d\varepsilon}\right)_{\varepsilon=\varepsilon_p} = E - 3A\varepsilon_p^2 = 0 \rightarrow \varepsilon_p = \left(\frac{E}{3A}\right)^{1/2} \rightarrow A = \left(\frac{E}{3\varepsilon_p^2}\right)$$

Podstawiając

$$\varepsilon = \varepsilon_p = \left(\frac{E}{3A}\right)^{1/2}$$

do równania wyjściowego otrzymamy

$$\sigma_p = \frac{2}{3} \left(\frac{E}{3A}\right)^{1/2} \rightarrow A = \frac{4}{27} \frac{E}{\sigma_p^2}$$

Otrzymaliśmy tu dwie zależności łączące $(\varepsilon_p, \sigma_p)$ z parametrem A .

Wyznamy teraz zależność moment - krzywizna $M \sim \kappa$ dla analizowanych równań fizycznych. Naprężenie w przekroju wyrażone przez krzywiznę przedstawia się tu równaniem

$$\sigma = E\kappa x_3 - A(\kappa x_3)^3$$

Warunek równowagi rzutu sił na oś x_1 prowadzi do relacji

$$N = \int_F \sigma dF = 0 \rightarrow E\kappa \int_F x_3 dF - A\kappa^3 \int_F x_3^3 dF = 0 \rightarrow E\kappa S_2 - A\kappa^3 S_{2(3)} = 0$$

gdzie

$$S_2 = \int_F x_3 dF, \quad S_{2(3)} = \int_F x_3^3 dF$$

Warunek ten będzie spełniony tożsamościowo ($S_2 = S_{2(3)} = 0$) w układzie osi (x_2, x_3) pokrywających się z osiami symetrii przekroju. Warunek równowagi sumy momentów na oś x_2 prowadzi do relacji

$$M = \int_F \sigma x_3 dF = 0 \rightarrow E\kappa \int_F x_3^2 dF - A\kappa^3 \int_F x_3^4 dF = 0 \rightarrow$$

$$\rightarrow M = E\kappa J_2 - A\kappa^4 J_{2(4)}$$

gdzie

$$J_2 = \int_F x_3^2 dF, \quad J_{2(4)} = \int_F x_3^4 dF$$

Znając moment M należy wyznaczyć krzywiznę κ i naprężenie σ z układu równań

$$\sigma = E\kappa x_3 - A(\kappa x_3)^3 \quad \text{i} \quad M = J_2 E\kappa - J_{2(4)} A\kappa^3$$

W pierwszej kolejności obliczymy $E\kappa$ i $A\kappa^3$

$$E\kappa = \frac{Mx_3^3 - \sigma J_{2(4)}}{x_3^3 J_2 - x_3 J_{2(4)}}, \quad A\kappa^3 = \frac{Mx_3 - \sigma J_2}{x_3^3 J_2 - x_3 J_{2(4)}}$$

Przyrównując do siebie wartości krzywizny κ wyliczone z tych równań otrzymamy poszukiwaną zależność

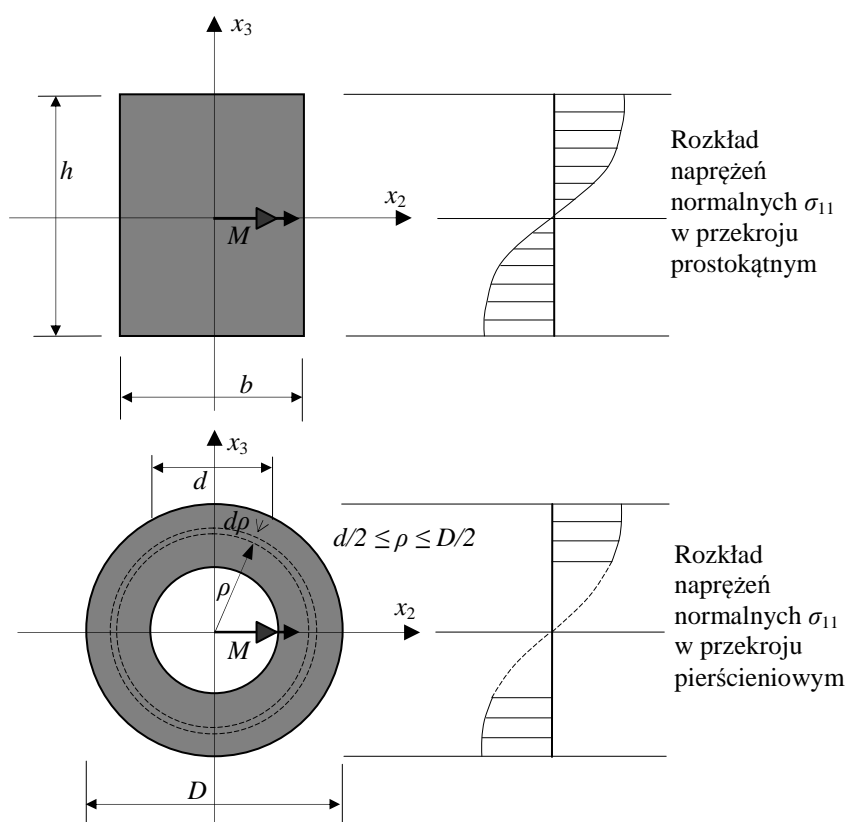
$$Mx_3 - \sigma J_2 = \frac{(Mx_3^3 - \sigma J_{2(4)})^3}{\left[x_3(x_3^2 J_2 - J_{2(4)})\right]^2} \frac{A}{E^3}$$

Z zależności tej dla znanej wartości momentu M , stałych materiałowych oraz współrzędnej włókna w przekroju możemy wyznaczyć rozkład naprężeń normalnych σ .

ZADANIE 1.15.

Należy wyznaczyć rozkłady naprężeń normalnych σ_{11} w przekroju pręta poddanego działaniu momentu zginającego. Rozważania należy przeprowadzić dla pręta o przekroju prostokątnym $b \times h$ oraz dla rury o średnicy wewnętrznej d i zewnętrznej D (rys. 1.15a). Materiał, z którego wykonano pręt jest nieliniowo sprężysty opisany równaniem fizycznym $\sigma_{11} = A \varepsilon_{11}^N$

Należy przeanalizować także przypadek szczególny liniowo sprężysty dla $N = 1$.



Rys. 1.15a

Rozwiązanie:

Rozkład naprężeń normalnych σ_{11} w zginanym pręcie określa równanie

$$\sigma_{11} = \frac{M}{J_2(N+1)} x_3^N$$

gdzie

$$J_2(N+1) = \int_F x_3^{N+1} dF$$

Zaś w przypadku liniowo sprężystym ($n=1$) rozkład naprężeń normalnych upraszcza się do postaci

$$\sigma_{11} = \frac{M}{J_2} x_3$$

gdzie

$$J_2 = \int_F x_3^2 dF$$

Obliczymy obecnie wartości momentów bezwładności rzędu $(N+1)$. W przypadku przekroju prostokątnego zachodzi

$$J_2(N+1) = 2b \int_0^{h/2} x_3^{N+1} dx_3 = \alpha_1 b (h)^{N+2},$$

$$\alpha_1 = 2^{-2-N} \frac{n}{2n+1}$$

a w przypadku rury

$$J_2(N+1) = 4 \int_0^{D/2} x_3^{1+N} \left(\frac{D^2}{4} - x_3^2 \right) dy - 4 \int_0^{d/2} x_3^{1+N} \left(\frac{d^2}{4} - x_3^2 \right) dy$$

Po podstawieniu nowych zmiennych

$$\beta_1 = \frac{2x_3}{D}, \quad \beta_2 = \frac{2x_3}{d}$$

wyliczymy poszukiwaną całkę

$$J_{22}(N+1) = 2^{-1-N} D^{N+3} \left[1 - \left(\frac{d}{D} \right)^{N+3} \right] I,$$

gdzie

$$I = \int_0^1 \sqrt{1-\beta^2} \beta^{N+1} d\beta$$

Całkę I obliczymy podstawiając

$$\beta^2 = n \rightarrow d\beta = \frac{1}{2} n^{-1/2} dn$$

czyli

$$I = \frac{1}{2} \int_0^1 (1-n)^{1/2} n^{1/2n} dn$$

Jest to całka Eulera I – rodzaju. Całkę tą można przedstawić w postaci kombinacji Γ -funkcji

$$I = \frac{1}{2} \frac{\Gamma\left(1 + \frac{1}{2n}\right) \Gamma\left(\frac{3}{2}\right)}{\Gamma\left(1 + \frac{1}{2n} + \frac{3}{2}\right)}$$

a po dalszych przeliczeniach otrzymamy

$$I = \frac{n}{3n+1} 2^N \left[\Gamma\left(1 + \frac{N}{2}\right) \right]^2 [\Gamma(2+N)]^{-1}$$

Ostatecznie moment bezwładności rury wynosi

$$J_2(N+1) = \alpha_2 D^{N+3} \left[1 - \left(\frac{d}{D} \right)^{N+3} \right]$$

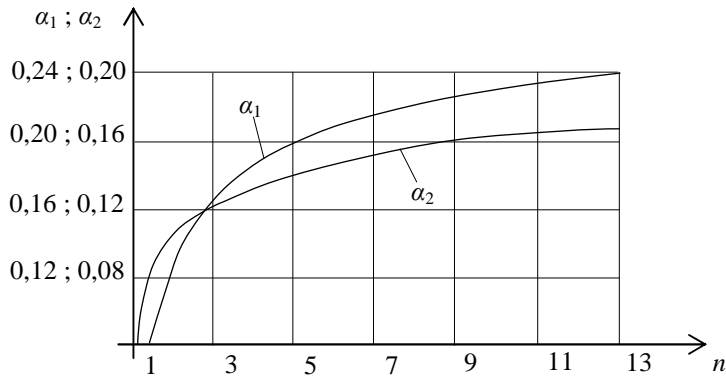
gdzie

$$\alpha_2 = \frac{n}{2(3n+1)} \left[\Gamma\left(1 + \frac{N}{2}\right) \right]^2 [\Gamma(2+N)]^{-1}$$

W przypadku szczególnym, pełnego przekroju kołowego ($d=0$) otrzymamy

$$J_{22}(N+1) = \alpha_2 D^{N+3}$$

Wykresy zależności $\alpha_1(n)$ i $\alpha_2(n)$ przedstawiono na rys. 1.15b



Rys. 1.15b

Ostatecznie rozkład naprężeń w przekroju prostokątnym $b \times h$ określa wzór

$$\sigma_{11} = \frac{M}{\alpha_1 b h^{N+2}} x_3^N, \quad \alpha_1 = 2^{-1-N} \frac{n}{2n+1}$$

Natomiast w przypadku liniowo sprężystym ($n=1$) zachodzi

$$\sigma_{11} = \frac{12M}{bh^3} x_3, \quad \alpha_1 = \frac{1}{12}$$

Z porównania rozkładów naprężeń w przypadku nieliniowym i liniowym wynika możliwość szacowania różnicy stanów naprężeń w zadaniach liniowych i nieliniowych.

$$\frac{\sigma_{11(n)}}{\sigma_{11(n=1)}} = \frac{1}{12\alpha_1} \left(\frac{x_3}{h} \right)^{N-1}$$

Rozkład naprężeń w przekroju rurowym ma postać

$$\sigma_{11} = \frac{M}{\alpha_2 D^{N+3} \left(1 - \left(\frac{d}{D} \right)^{N+3} \right)} (x_3)^N$$

gdzie

$$\alpha_2 = \frac{n}{2(3n+1)} \left[\Gamma \left(1 + \frac{N}{2} \right) \right]^2 [\Gamma(2+N)]^{-1}$$

Natomiast wartość momentu bezwładności J_2 dla przekroju rurowego w zadaniu liniowym obliczymy w sposób odmienny przez porównanie momentów bezwładności J_2 i J_3 z biegunowym momentem bezwładności J_0 . Zachodzi

$$J_2 = \int_F x_3^2 dF, \quad J_3 = \int_F x_2^2 dF, \quad J_0 = J_2 + J_3 = \int_F (x_3^2 + x_2^2) dF$$

Wyznamy teraz biegunowy moment bezwładności J_0 wprowadzając nową zmienną

$$\rho^2 = x_2^2 + x_3^2, \quad dF = 2\pi\rho d\rho$$

zamieniając wówczas całkę podwójną na pojedynczą

$$J_0 = \int_{d/2}^{D/2} \rho^2 2\pi\rho d\rho = 2\pi \frac{\rho^4}{4} \Big|_{d/2}^{D/2} = \frac{\pi}{2} \left[\left(\frac{D}{2} \right)^4 - \left(\frac{d}{2} \right)^4 \right]$$

Z uwagi na symetrię przekroju otrzymamy

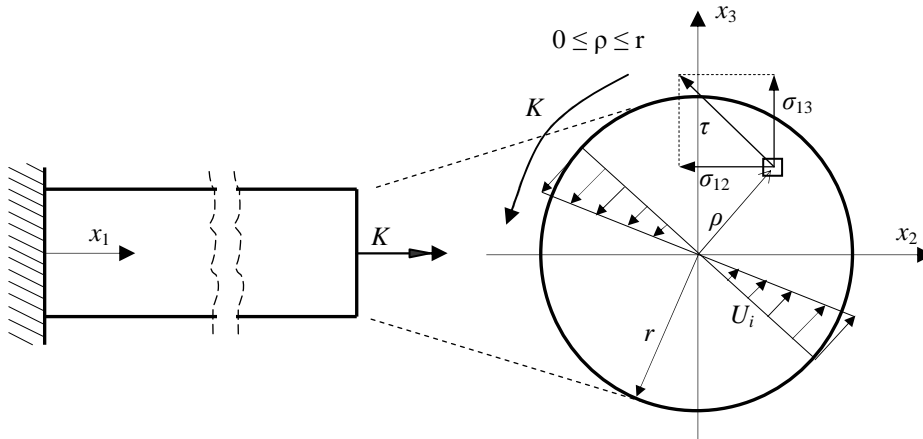
$$J_2 = J_3 = \frac{J_0}{2} \rightarrow J_2 = \frac{\pi}{4} \left[\left(\frac{D}{2} \right)^4 - \left(\frac{d}{2} \right)^4 \right]$$

Ostatecznie naprężenie σ_{11} obliczymy z wzoru

$$\sigma_{11} = \frac{4M}{\pi} \left[\left(\frac{D}{2} \right)^4 - \left(\frac{d}{2} \right)^4 \right]^{-1} x_3$$

ZADANIE 1.16.

Należy określić rozkłady naprężeń tnących w skręcanym momentem M pręcie kołowym o promieniu r (rys. 1.16), wykonanym z nieliniowego materiału sprężystego o równaniu fizycznym $\sigma_{(i)} = A\varepsilon_{(i)}^N$, gdzie



Rys. 1.16

$$\sigma_{(i)} = \sqrt{\frac{3}{2} S_{ij} S_{ij}}, \quad S_{ij} = \sigma_{ij} - \frac{1}{3} \sigma_{kk} \delta_{ij},$$

$$\varepsilon_{(i)} = \sqrt{\frac{2}{3} e_{ij} e_{ij}}, \quad e_{ij} = \varepsilon_{ij} - \frac{1}{3} \varepsilon_{kk} \delta_{ij}.$$

W powyższych wzorach symbole $\sigma_{(i)}$ i $\varepsilon_{(i)}$ są intensywnościami naprężeń i odkształceń, a S_{ij} i e_{ij} - dewiatorami naprężeń i odkształceń.

Rozwiązanie:

Pole przemieszczeń przyjmiemy w postaci

$$u_1 = 0, \quad u_2 = -2\alpha x_1 x_3, \quad u_3 = 2\alpha x_1 x_2$$

Odształcenia

$$2\varepsilon_{ij} = u_{i,j} + u_{j,i}$$

wynoszą

$$\varepsilon_1 = \alpha x_2, \quad \varepsilon_{12} = -\alpha x_3, \quad \varepsilon_{23} = 0, \quad \varepsilon_{11} = \varepsilon_{22} = \varepsilon_{33} = 0 \rightarrow \varepsilon_{ii} = 0 \rightarrow \varepsilon_{ij} = e_{ij}$$

Wynika stąd, iż w tym przypadku wobec $\varepsilon_{ii} = 0$ tensor odkształceń pokrywa się z dewiatorem odkształceń. Natomiast intensywność odkształceń $\varepsilon_{(i)}$, która występuje w równaniu fizycznym obliczymy z zależności

$$\varepsilon_{(i)}^2 = \frac{2}{3} \left(\varepsilon_{ij} - \frac{1}{3} \varepsilon_{kk} \delta_{ij} \right) \left(\varepsilon_{ij} - \frac{1}{3} \varepsilon_{kk} \delta_{ij} \right)$$

stąd

$$\varepsilon_{(i)} = \frac{\sqrt{2}}{3} \sqrt{(\varepsilon_{11} - \varepsilon_{22})^2 + (\varepsilon_{11} - \varepsilon_{33})^2 + (\varepsilon_{22} - \varepsilon_{33})^2 + 6(\varepsilon_{12}^2 + \varepsilon_{13}^2 + \varepsilon_{23}^2)}$$

W naszym przypadku $\varepsilon_{(i)}$ wynosi

$$\varepsilon_{(i)} = \frac{\sqrt{2}}{3} \sqrt{6(\varepsilon_{12}^2 + \varepsilon_{13}^2)} = \frac{\sqrt{12}}{3} \alpha \sqrt{x_2^2 + x_3^2} = \frac{\sqrt{12}}{3} \rho \alpha$$

Znając intensywność odkształceń $\varepsilon_{(i)}$ wyznaczmy z równania fizycznego intensywność naprężeń $\sigma_{(i)}$

$$\sigma_{(i)}^2 = \frac{3}{2} \left(\sigma_{ij} - \frac{1}{3} \sigma_{kk} \delta_{ij} \right) \left(\sigma_{ij} - \frac{1}{3} \sigma_{kk} \delta_{ij} \right)$$

stąd

$$\sigma_{(i)} = \frac{1}{\sqrt{2}} \sqrt{(\sigma_{11} - \sigma_{22})^2 + (\sigma_{11} - \sigma_{33})^2 + (\sigma_{22} - \sigma_{33})^2 + 6(\sigma_{12}^2 + \sigma_{13}^2 + \sigma_{23}^2)}$$

W naszym zadaniu występuje jedynie σ_{12} i σ_{13} stąd

$$\sigma_{(i)} = \sqrt{3} \sqrt{\sigma_{12}^2 + \sigma_{13}^2} = \sqrt{3} \tau$$

gdzie

$$\tau = \sqrt{\sigma_{12}^2 + \sigma_{13}^2}$$

Z równań fizycznych otrzymujemy wzór na naprężenie styczne τ

$$\sigma_{(i)} = A \varepsilon_{(i)}^N \rightarrow \sqrt{3} \tau = A \left(\frac{\sqrt{12}}{3} \rho \alpha \right)^N \rightarrow \tau = B (\rho \alpha)^N$$

gdzie

$$B = \frac{1}{\sqrt{3}} \left(\frac{\sqrt{12}}{3} \right)^N A$$

Znając naprężenie τ można określić moment skręcający K

$$\begin{aligned} K &= \int_F \tau \rho dF = \int_0^r \tau \rho 2\pi \rho d\rho = \int_0^r B (\rho \alpha)^N \rho 2\pi \rho d\rho = \\ &= B \alpha^N \int_0^r \rho^{N+2} 2\pi d\rho = 2\pi B \alpha^N \frac{r^{N+3}}{N+3} = B \alpha^N J_0(N+1) \end{aligned}$$

Z zależności tej wyznaczmy nieznaną parametr α

$$\alpha^N = \frac{(N+3)K}{2\pi B r^{N+3}}$$

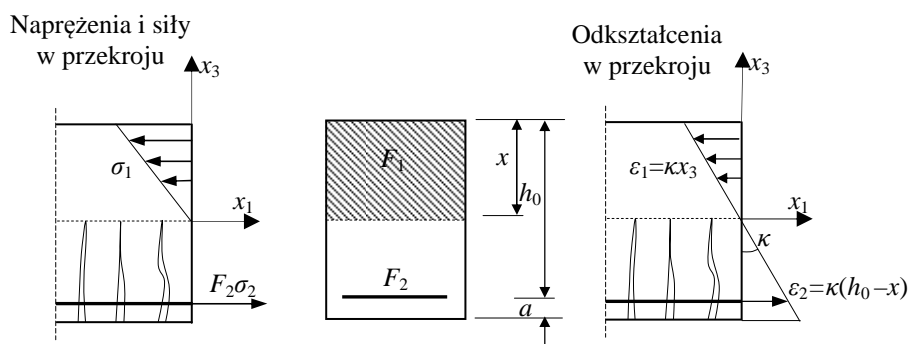
Ostatecznie poszukiwany rozkład naprężeń tnących w nieliniowo sprężystym pręcie ma postać

$$\tau = (N+3) (2\pi r^{N+3})^{-1} K \rho^N = \frac{K}{J_0(N+1)} \rho^N$$

Naprężenie to przyjmie największą wartość w skrajnych włóknach $\rho = r$.

ZADANIE 1.17.

Analizować będziemy własności stanów naprężeń w zginanym pręcie wykonanym z lepkosprężystej matrycy o polu przekroju części ściskanej F_1 i funkcji relaksacji $E_1(t)$ zbrojonej sprężystymi prętami o polu przekroju F_2 i module sprężystości E_2 (rys. 1.17a). Pręty te wzmacniają głównie strefę rozciąganą nieodpornego na ciągnięcie kompozytu, w której pojawiły się rysy. Z sytuacją taką spotykamy się zarówno w analizie konstrukcji żelbetowych jak i kompozytów z plastyków wzmacnianych przypowierzchniowo.



Rys. 1.17a

Rozwiązanie:

a) Składnik pierwszy (matryca) jest ciałem lepkosprężystym, a drugi (zbrojenie) - sprężystym. Całość będzie posiadała cechy lepkosprężyste i jest jednokrotnie wewnątrznie statycznie niewyznaczalna. Określmy teraz zależność momentu zginającego - krzywizna z zależności geometrycznych

$$\varepsilon_1 = \kappa x_3, \quad \varepsilon_2 = \kappa(h_0 - x) \quad x = \text{const}$$

fizycznych

$$\sigma_1 = E_1(t) * d\varepsilon_1, \quad \sigma_2 = E_2 \varepsilon_3 = E_2 H(t) * d\varepsilon_2$$

wyrażen na momenty zginające w matrycy

$$M_1 = \int_{F_1} \sigma_1 x_3 dF_1 = \int_{F_1} E_1(t) * d\kappa x_3^2 dF_1 = J_1 E_1(t) * d\kappa$$

oraz w zbrojeniu

$$M_2 = \sigma_2 F_2 (h_0 - x) = E_2 F_2 (h_0 - x)^2 H(t) * d\kappa$$

Stąd

$$M = M_1 + M_2 = [J_1 E_1(t) + E_2 F_2 (h_0 - x)^2 H(t)] * d\kappa$$

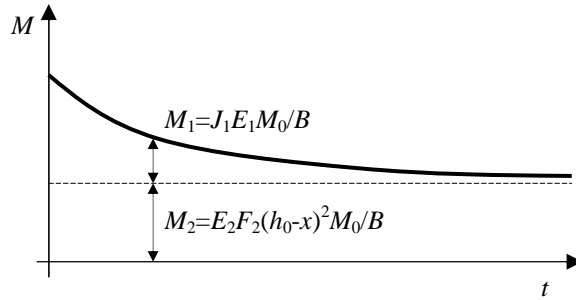
b) Zauważmy, że zmiany momentu M jako kombinacje funkcji $E(t)$ (rys. 1.17b) postaci

$$M(t) = \frac{M_0}{B} [J_1 E_1(t) + E_2 F_2 (h_0 - x)^2]$$

spowodują, iż krzywizna będzie stała

$$\frac{M_0}{B} [J_1 E_1 + E_2 F_2 (h_0 - x)^2] = [J_1 E_1 + E_2 F_2 (h_0 - x)^2] * d\kappa \rightarrow$$

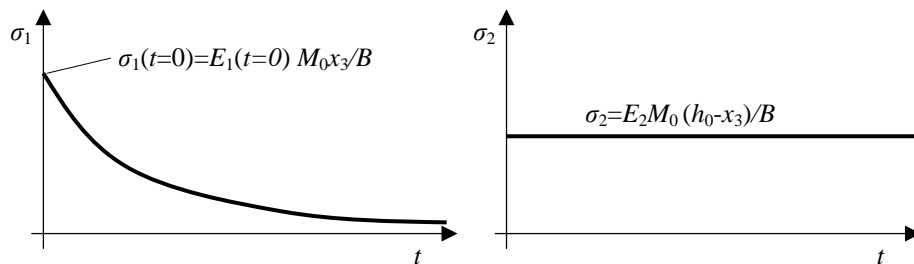
$$\rightarrow M_0 = B\kappa \rightarrow \kappa = \frac{M_0}{B} H(t)$$



Rys. 1.17b

Wynik ten oznacza, iż stałe deformacje otrzymamy przy malejącej w czasie wartości momentu. Wówczas naprężenia w matrycy będą maleć

$$\sigma_1 = E_1(t) * d\kappa x_3 = \frac{M_0 x_3}{B} E_1(t) * dH = \frac{M_0 x_3}{B} E_1(t)$$



Rys. 1.17c

zaś w zbrojeniu sprężystym będą stałe (rys. 1.17c)

$$\sigma_2 = E_2 H(t) * d\kappa(h_0 - x) = \frac{E_2 M_0}{B} (h_0 - x) H(t) * dH = \frac{E_0 M_0}{B} (h_0 - x) H(t)$$

c) Wyznaczymy z kolei relację między krzywizną κ , a momentami cząstkowymi M_1 i M_2 , korzystając, z odwrotnych równań fizycznych

$$\varepsilon_1 = C_1(t) * d\sigma_1 \quad \text{i} \quad \varepsilon_2 = \frac{1}{E_2} \sigma_2 = G_2 H(t) * d\sigma_2$$

Podstawiając do nich równania geometryczne oraz całkując elementarne momenty uzyskamy wzory na krzywizny

$$\int_{F_1} \kappa x_3^2 dF = \int_{F_1} C_1(t) * d\sigma_1 x_3 dF_1 \rightarrow$$

$$\rightarrow \kappa J_1 = C_1(t) * dM_1 \rightarrow \kappa = \frac{1}{J_1} C_1(t) * dM_1$$

oraz

$$\varepsilon_2 = \kappa'(h_0 - x), \quad \kappa'(h_0 - x)^2 F_2 = \frac{1}{E_2} \sigma_2 (h_0 - x) F_2 \rightarrow$$

$$\rightarrow \kappa'(h_0 - x)^2 = \frac{1}{F_2 E_2} M_2 \rightarrow \kappa' = \frac{1}{F_2 (h_0 - x)^2} G_2 H(t) * dM_2$$

Przyrównując do siebie krzywizny $\kappa = \kappa'$ otrzymamy zależność

$$\frac{1}{J_1} C_1(t) * dM_1 = \frac{1}{F_2 (h_0 - x)^2} G_2 H(t) * dM_2$$

Moment zginający M jest sumą momentów cząstkowych $M = M_1 + M_2$, stąd rozdział momentów otrzymamy z rozwiązania układów równań całkowych

$$\frac{1}{J_1} C_1(t) * dM_1 - \left[F_2 (h_0 - x)^2 \right]^{-1} G_2 H(t) * dM_2 = 0$$

i $M_1(t) + M_2(t) = M(t)$

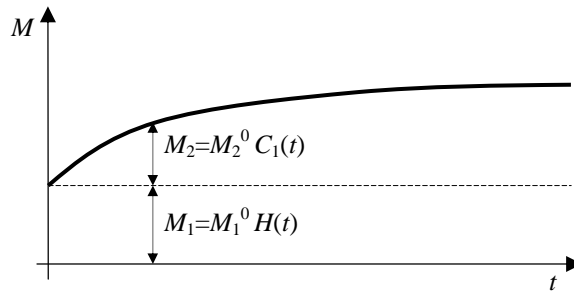
z którego dla znanego zewnętrznego momentu zginającego M należy wyliczyć M_1 i M_2 .

d) Zauważmy, iż zmianom $M_2 = M_2^0 C_1(t)$ w zbrojeniu towarzyszy

$$\frac{1}{J_1} C_1(t) * dM_1 - [F_2(h_0 - x)^2]^{-1} G_2 M_2^0 C_1(t) * dH(t) = 0$$

stąd

$$\frac{1}{J_1} M_1(t) = [F_2(h_0 - x)^2]^{-1} G_2 M_2^0 H(t) \rightarrow M_1(t) = M_1^0 H(t)$$



Rys. 1.17d

Wynika więc, iż moment M_1 musi być stały w czasie, a sumaryczny moment ma postać

$$M(t) = M_1^0 H(t) + M_2^0 C_1(t)$$

w której stałe M_1^0 i M_2^0 powiązane są relacją

$$M_1^0 = J_1 [F_2(h_0 - x)^2]^{-1} G_2 M_2^0$$

Przeanalizowaliśmy tu drugi szczególny proces, w którym naprężenia w matrycy są stałe (por. poprzednie przykłady), natomiast naprężenia w zbrojeniu narastają zgodnie z zależnością $\sigma_2 = \sigma_2^0 C_1(t)$, analogiczną do funkcji pełzania matrycy.

e) Badaliśmy tutaj dwa szczególne procesy reologiczne w pręcie lepko-sprężystym wzmocnionym zbrojeniem. W pierwszym przypadku było stałe naprężenie w zbrojeniu, zaś w drugim - w matrycy. Natomiast moment zewnętrzny M był malejący lub rosnący. W przypadku stałego momentu zewnętrznego należy rozwiązać układ równań z punktu c).

Podane w tym zadaniu rozumowanie po uzupełnieniach może posłużyć do określania stanów naprężeń w zginanych belkach żelbetowych, w których

dochodzi do redystrybucji naprężeń w zbrojeniu i betonie. Przykładowo, stałej wartości momentu w przekroju towarzyszy wzrost z upływem czasu naprężeń w zbrojeniu oraz ich spadek w betonie.

ZADANIE 1.18.

W liniowej lepkosprężystości o równaniu fizycznym $\sigma = E * d\varepsilon$ zależność momentu zginającego M od krzywizny ma postać

$$M = JE(t) * d\kappa$$

Należy znaleźć relację odwrotną tj. wyrażenie określające krzywiznę w zależności od momentu.

Rozwiązanie:

a) Z równań fizycznych $\varepsilon = E^{-1}(t) * d\sigma$ po podstawieniu równań geometrycznych $\varepsilon = \kappa x_3$ i uwzględnieniu warunków równań wewnętrznych

$$M = \int_F \sigma x_3 dF$$

otrzymamy

$$\int_F \kappa x_3 x_3 dF = \int_F E^{-1}(t) * d\sigma x_3 dF \rightarrow \kappa \int_F x_3^2 dF = dE^{-1}(t) * \int_F \sigma x_3 dF \rightarrow$$

$$\rightarrow \kappa = \frac{1}{J_{22}} M * dE^{-1}(t) \text{ gdzie } E * dE^{-1} = H$$

Jest to poszukiwana zależność krzywizny od momentu.

b) Jeżeli teraz postawimy pytanie jak powinno się zmieniać obciążenie $P(t)$, a tym samym moment $M(t) - M_0(t)$, aby przemieszczenia belki były $u = u_0 g(t)$, gdzie $u_0 g(t)$ jest dane, to odpowiedź wynika ze stwierdzenia, że dla

$$u_0 g(t) \rightarrow x_3 \kappa = u \rightarrow \kappa = \kappa_0 g(t)$$

stąd

$$M(t) = JE(t) * d\kappa = J\kappa_0 E(t) * dg$$

zaś

$$M(t) = \sum_{\alpha} a^{\alpha} P_f^{\alpha}(t)$$

stąd

$$\sum_{\alpha} a^{\alpha} P^{\alpha} f(t) = J \kappa_0 E * dg \rightarrow f(t) = AE(t) * dg$$

ZADANIE 1.19.

Zależności między siłą osiową w pręcie N , a jego wydłużeniem λ mają postać

$$\lambda = \varepsilon l = N * dE^{-1}(t) \frac{l}{F}$$

Należy znaleźć relację odwrotną tj. wyrazić siłę osiową N przez wydłużenie

Rozwiązanie:

Wzór na wydłużenie otrzymano z równania fizycznego

$$\varepsilon = \sigma * dE^{-1}(t) = \frac{1}{F} N * dE^{-1}(t) \rightarrow \varepsilon l = \frac{l}{F} N * dE^{-1}(t)$$

Z punktu widzenia matematycznego mamy do czynienia z równaniem całkowym, którego rozwiązaniem czyli funkcji podcałkowej poszukujemy.

Rozważmy teraz odwrotne do pierwszego równania fizycznego

$$\sigma = \varepsilon * dE(t)$$

które jest poszukiwanym rozwiązaniem pierwszego równania fizycznego. Spróbujmy fizykalną interpretację przenieść na zależności „siła osiowa - wydłużenie”. Po scałkowaniu po powierzchni przekroju F zachodzi

$$\sigma = E(t) * d\varepsilon \rightarrow N = F \varepsilon * dE(t) \rightarrow N = \frac{F}{l} \lambda * dE(t)$$

oraz

$$\varepsilon = E^{-1}(t) * d\sigma = \sigma * dE^{-1}(t) \rightarrow \frac{\lambda}{l} F = E^{-1}(t) * dN \rightarrow \lambda = \frac{l}{F} N * dE^{-1}(t)$$

Z tych wzajemnych relacji

$$\sigma = E(t) * d\varepsilon \rightarrow N = \frac{F}{l} E(t) * d\lambda$$

$$\varepsilon = E^{-1}(t) * d\sigma \rightarrow \lambda = \frac{l}{F} E^{-1}(t) * dN$$

wynika, iż są one wzajemnymi rozwiązaniami relacji siła osiowa-wydłużenie.